

硅键合 SOI 平面光波导探索*

李金华^a 林成鲁^b G. T. Reed^c A. G. Rickman^c P. L. F. Hemment^c

^a, 江苏石油化工学院 物理教研室, 常州 213016

^b, 中国科学院上海冶金研究所离子束开放实验室, 上海 200050

^c, Dept. Electronic and Electrical Engineering, University of Surrey, Guildford,
Surrey GU2 5XH, England

摘要 本文分析了 SIMOX/SOI 和 DWB/SOI 结构的性能特点. 尝试用 DWB/SOI 材料制备不同波导层厚度的平面光波导样品, 并测试了 1.15 μm 和 1.523 μm 激光的 TE 和 TM 模的传输损耗. 1.523 μm 光的 TE 模的最小传输损耗已达 0.27 dB/cm. 说明 DWB/SOI 材料是一种有潜力的光波导材料.

关键词 光波导, 硅直接键合, SOI 材料.

1 引言

目前, 制造光波导器件的主要材料是 GaAs、LiNbO₃ 等化合物材料. 如果单晶硅能形成光波导结构且具有低的传输损耗, 那么, 由于硅材料在集成电路方面的成熟应用, 其工艺及材料的稳定性、兼容性和材料的低价格、大尺寸等优点, 无疑将使集成光学器件有长足发展.

SOI(Silicon On Insulator)材料的出现, 使 Si 的光波导结构产生了希望. 有前途的 SOI 材料有二种. 一种是离子束合成 SOI 材料, 特别是 SIMOX(Separation by IMplanted OXYgen). 另一种是硅直接键合(DWB-Direct Wafer Bonding)SOI 材料. 要制备低损耗的光波导, 需要对表层 Si 外延. 常压外延由于高温 H₂ 对埋层 SiO₂ 的分解, 会使表层 Si 的缺陷增加, 甚至造成 SOI 结构的损坏^[1,2]. 所以, 国外目前采用化学气相沉积(CVD)外延方法, 但价格昂贵.

相比而言, DWB/SOI 材料是将高平整度的器件级单晶硅片, 经可靠的键合处理, 在超净线上制备. 然后经减薄、抛光得到实用的 SOI 材料. DWB/SOI 结构的表层 Si 是经减薄的器件级单晶, 缺陷密度低, 埋层 SiO₂ 是键合前热生长形成, 内在和界面都有很高的质量. 所以, 该材料应有较大的吸引力. 关键是获得均匀的、厚度合适的顶层 Si.

1988 年以来, 英国、美国、西德的研究人员先后用经 CVD 外延的 SIMOX 材料研制了二维平面波导^[3], 三维耦合波导^[4]和脊形单模波导^[5]. 去年, 作者在英国 Surrey 大学首先用自己制备的 DWB/SOI 材料, 试制了 Si 平面光波导样品, 测试了它的传输特性. 本文将就此作简要介绍.

收稿日期: 1993年3月1日; 收到修改稿日期: 1993年4月12日

* 本课题得到传感技术国家实验室资助.

2 SOI 结构的获得和材料性能

待键合的 N <100> 3" Si 片, 先作平整度检测, 再在其表面生长 0.2 μm 厚的 SiO₂, 对它们作表面处理后, 面对面地放置在专用石英舟上, 在 1200 °C 的 H₂+O₂ 中作 2 hr 的键合处理。键合后的片子在红外图像仪上作键合质量检测。再对键合对的一边作机械减薄, 使 SiO₂ 上的单晶 Si 厚度保留约 30 μm, 最后用机械抛光获得实验样品的 SOI 结构。

作者对可能影响光的传输损失的材料性能作了检测。

用扫描电子显微镜(SEM)检测了沿圆片径向切割的六块样品的表层 Si 和埋层 SiO₂ 厚度, 观察了 Si-SiO₂ 界面的平整度。由于本实验中未对提高样品表层 Si 均匀性采取重点措施, 该圆片表层 Si 的厚度沿径向有较大差别(见表 1), 但埋层 SiO₂ 的厚度均匀(约 0.4 μm), 界面平直。图 1 是样品 6 的 SOI 结构的 SEM 照片。

表层 Si 的电阻率用多量程四探针测得, 约为 11 Ωcm。对应的 N 型载流子浓度约 $4.5 \times 10^{14} / \text{cm}^3$ 。可以认为, 这种浓度的材料对光的吸收接近本征硅的吸收。

材料的缺陷密度用计算经 Secco 法^[6]腐蚀后的腐蚀坑得到。样品圆片不同区域的缺陷密度为 $5 \times 10^4 \sim 3 \times 10^5 / \text{cm}^2$ 。

用卢瑟福背散射和沟道(RBS/C)分析测量了表层硅的晶体质量。在较厚表层 Si 区域和 Si-SiO₂ 的界面附近, 顶层单晶的退化 X 分别为 4.3 % 和 4.7 %。该结果表明, 经高温键合和机械减薄后的 DWB/SOI 结构, 其晶格完整性仍较理想。

3 光波导样品制备和传输损耗测量

沿 3" DWB/SOI 圆片的径向, 依次分割下六块 $8 \times 10 \text{ mm}^2$ 的样品, 并将较长的对边侧面抛光成镜面, 要求这二侧面平行且都与表面垂直。这样, 由于埋层 SiO₂ 的折射率(1.46)比表层 Si 的折射率(3.43)低得多, 从一个抛光端面入射的光就在 Si-SiO₂, Si-表面空气($n=1$)上下二界面全反射, 而从另一端面出射。由于 DWB/SOI 样品圆片的厚度不均匀, 就得到了六个波导层厚度不同的平面光波导样品(见表 1)。

所有样品都分别用波长为 1.15 μm 的 He-Ne 激光和波长为 1.523 μm 的 InGaAsP 激光作了 TE 模和 TM 模的传输特性测量。

样品装在能作 x-y 方向调节的平台上。入射激光通过 40 倍物镜聚焦于波导样品的入射端面。波导束经聚焦于出射端面的另一 40 倍物镜收集, 再经束分裂薄膜把光强的 65% 送到红外摄像镜头, 其余的输入 Ge 光电探测器。这二组讯号分别经视频分析器(video analyser)和锁定放大器(lock-in amplifier)处理后经 x-y 函数记录仪输出。为了确保光线的正入射和使镜头准确地聚焦在波导样品的端面, 二个物镜能作 x、y、z 方向的平动和 θ 角(水平面内)的转动。

光波导样品的传输损耗 L_p 由下式确定:

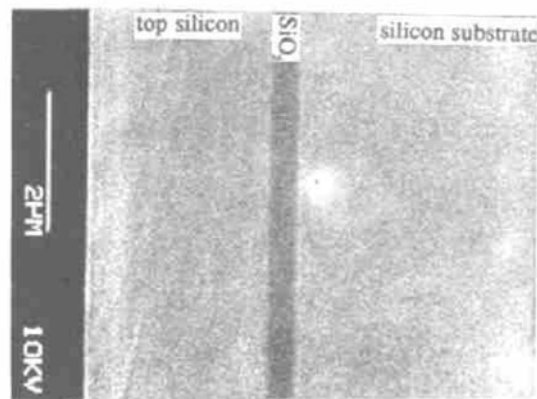


Fig. 1 SEM micrographs of DWB/SOI structure

$$L_P (\text{dB/cm}) = \frac{L_i - L_f - L_m (\text{dB})}{l (\text{cm})}$$

式中 l 为波导层长度, L_m 为失配损耗, 由入射束和波导传输束的模态失配引起。在多模情况下, 它的计算很复杂但值很小。为简单起见, 假定它为零(文献[7]中作过计算, 在表层 Si 厚度超过 $0.2 \mu\text{m}$ 时, 波导束为多模)。 L_f 为菲涅耳反射损耗。它由空气和半导体的界面性质决定。光正入射时, 每个界面的反射损耗 $L_f = 10 \log [1/(1 - R)]$, 此处 $R = [(n - 1)/(n + 1)]^2$, n 为 Si 的相对折射率。 L_i 为插入损耗。它的大小由波导材料的吸收, 波导结构上下二界面对光的散射和耦合等损耗决定。测试时, 它的值为 $L_i = 10 \log (P_i/P_0)$ 。式中 P_i 和 P_0 分别为无样品时和光经波导层出射后光电探测器的讯号幅度。由于假定失配损耗为零, 所以, 得到的波导传输损耗可能比实际值略有增加。表 1 中列出了六个样品的标称厚度和传输损耗。

Table 1. Waveguide propagation losses

Sample No.	Si overlayer thickness (μm)	buried SiO_2 thickness (μm)	Waveguide propagation losses (dB/cm)			
			$\lambda = 1.15 \mu\text{m}$		$\lambda = 1.523 \mu\text{m}$	
			TE	TM	TE	TM
1	10.3	0.4	6.22	5.15	1.14	1.74
2	10.1	0.4	5.61	5.03	0.82	2.11
3	7.1	0.4	5.75	4.90	0.27	2.86
4	4.5	0.4	6.11	4.78	3.53	3.19
5	3.3	0.4	6.82	6.61	3.72	4.25
6	2.7	0.4	8.20	7.43	5.54	5.30

All loss measurements are subject to an uncertainty of $\pm 0.5 \text{ dB/cm}$.

4 讨 论

与 SIMOX/SOI 材料相比, DWB/SOI 材料的位错密度低、单晶质量好、埋层均匀、界面平整, 应当得到小的传输损耗。但是, 由于传输损耗较多地依赖于波导层的厚度, 而在键合后机械减薄的情况下, 厚度的不均匀性正是其不足之处。该实验样品制备时, 并未对提高表层硅厚度均匀性采取重点措施, 所以表 1 中样品的均匀性较差。每只样品的纵向和横向二端的厚度差都有 $1 \mu\text{m}$ 以上。因此给实验结果的详细分析带来了困难。从上述的研究, 可以清楚地看到:

1) 对 $\lambda = 1.523 \mu\text{m}$ 的光, 3 号样品的 TE 模的传输损耗已达 0.27 dB/cm 。该值已接近单晶硅的本征吸收。但考虑到测试中 $\pm 0.5 \text{ dB/cm}$ 的不确定度和实验结果的离散度较大, 还应该作进一步的实验来证实。不过, 即使对 $< 1 \text{ dB/cm}$ 的传输损耗, 其界面散射、界面耦合、缺陷吸收及载流子散射等损耗都已很小, 说明 DWB/SOI 材料可以被用来研制实用的光波导器件, 显示了这种材料的应用潜力。

2) 波长为 $1.15 \mu\text{m}$ 光的传输损耗明显地高于波长为 $1.523 \mu\text{m}$ 光的传输损耗。这是由于 $1.15 \mu\text{m}$ 光波的光子能量非常接近于 Si 的能带边缘, Si 对它有较大的吸收。

3) 波导层的厚度过厚或过薄都会使传输损耗增大。似乎对 $6 \sim 10 \mu\text{m}$ 的波导层厚度, 其

传输损失较小。但这样的厚度难以获得有实用意义的平面单模波导，而对能获得单模的平面波导(厚度约 $0.2 \mu\text{m}$)。其传输损耗又高得无实用价值，所以较好的选择是用这种厚度的 SOI 结构制成脊形波导，既能降低损耗又能获得单模。

结 论 DWB/SOI 材料是一种很有前途的光波导材料。它能被成功应用的关键是如何提高波导层厚度的均匀性。

参 考 文 献

- [1] D. Schmidt, J. Schneider, Methods of epitaxial growth and the effects of High-temperature hydrogen anneals on SIMOX material. *Proc. 10th. Internat. Conf. on Chemical Vapor Deposition*, Honolulu, HI USA 1987, 224~232
- [2] Li Jinhua, Lin Chenglu, Lin Zixin et al., Stability of SIMOX and SIMNI structures at high temperature in hydrogen. *Nucl. Inst. and Meth. in Phys. Res.*, 1991, **B58/60** : 685~689
- [3] B. L. Weiss, G. T. Reed, S. K. Toh et al., Optical waveguides in SIMOX structures. *IEEE Photonics Technol. Lett.*, 1991, **3**(1) : 19~21
- [4] R. A. Soref, E. Cortesi, F. Namavar et al., Vertically integrated silicon-on-insulator waveguides. *IEEE Photonics Technol. Lett.*, 1991, **3**(1) : 22~24
- [5] J. Schmidtchen, A. Splett, B. Schüppert et al., Low loss singlemode optical waveguides with large cross-section in silicon-on-insulator. *Electron. Lett.*, 1991, **27**(16) : 1486~1487
- [6] F. Secco d' Aragona, Dislocation etch for $\langle 100 \rangle$ planes in silicon, *J. Electrochem.*, 1972, **119** : 458~461
- [7] R. G. Hunsperger, *Integrated Optics: Theory and Technology*. 3rd edition, Springer, Berlin, 1991, 15~19

Investigation of Planar Optical Waveguides with DWB/SOI Structure

Li Jinhua^a Lin Chenglu^b G. T. Reed^c

A. G. Rickman^c P. L. F. Hemment^c

a, Jiangsu Institute of Petrochemical Technology, Changzhou 213016

b, Ion Beam Lab., Shanghai Institute of Metallurgy, Academia Sinica, Shanghai 200050

c, Dept. Electronic and Electrical Engineering, University of Surrey, Guildford, Surrey GU2 5XH, England

(Received 1 March 1993; revised 12 April 1993)

Abstract The structure characteristics of SIMOX/SOI (Separation by implanted oxygen/silicon on insulator) and DWB (direct wafer bonding)/SOI are discussed. Some planar optical waveguides samples with different thickness of layer were fabricated in DWB/SOI structure. The propagation losses were measured for both TE and TM modes at wavelengths of $1.15 \mu\text{m}$ and $1.523 \mu\text{m}$. The lowest loss is close to the intrinsic absorption of pure crystal silicon. It indicates that the DWB/SOI structure is a potential material for optical waveguides.

Key words optical waveguides, direct wafer bonding, silicon on insulator.